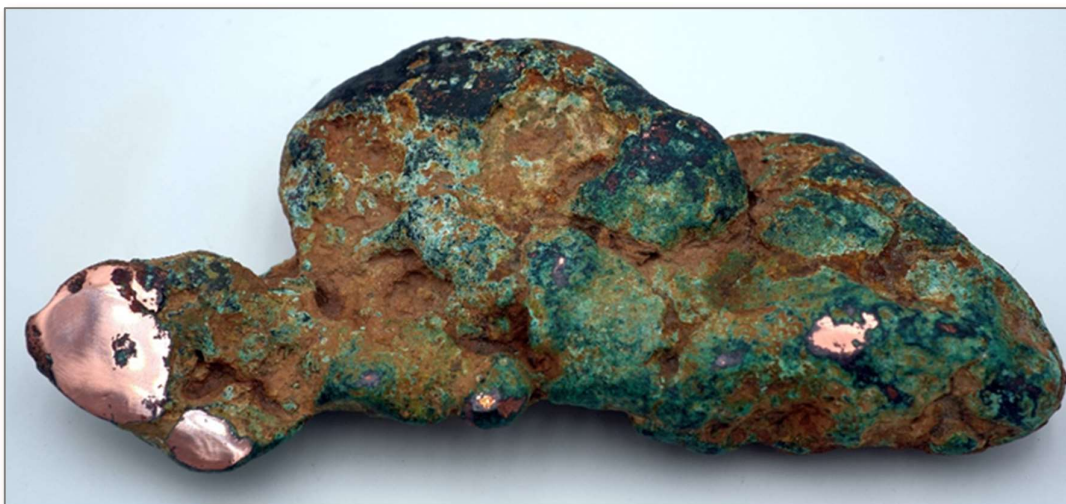


KOMUNIKAT Z 11 SIERPNIĄ 2022 R.

ANALIZA LABORATORYJNA DANYCH HISTORYCZNYCH PRÓBEK POBRANYCH W RAMACH PROJEKTU ARC POTWIERDZA WYSTĘPOWANIE 99,8% CZYSTEJ MIEDZI RODZIMEJ

- Analiza laboratoryjna XRF próbek miedzi rodzimej pobranych w ramach Projektu ARC na Grenlandii dowiodła ich wysokiej czystości, wynoszącej konsekwentnie ponad 99%
- Analiza potwierdziła również obecność srebra w jednej próbce oraz brak istotnych pierwiastków szkodliwych w każdej z trzech analizowanych próbek historycznych
- Trzy próbki miedzi rodzimej zostały zebrane w obrębie obszaru rozciągającego się w promieniu 30 km od otworów poszukiwawczych Discovery Zone, Neergaard Dal i Neergaard South w ramach projektu ARC
- Obecnie realizowany jest program prac terenowych. Uzyskane wyniki będą publikowane na bieżąco w najbliższych miesiącach



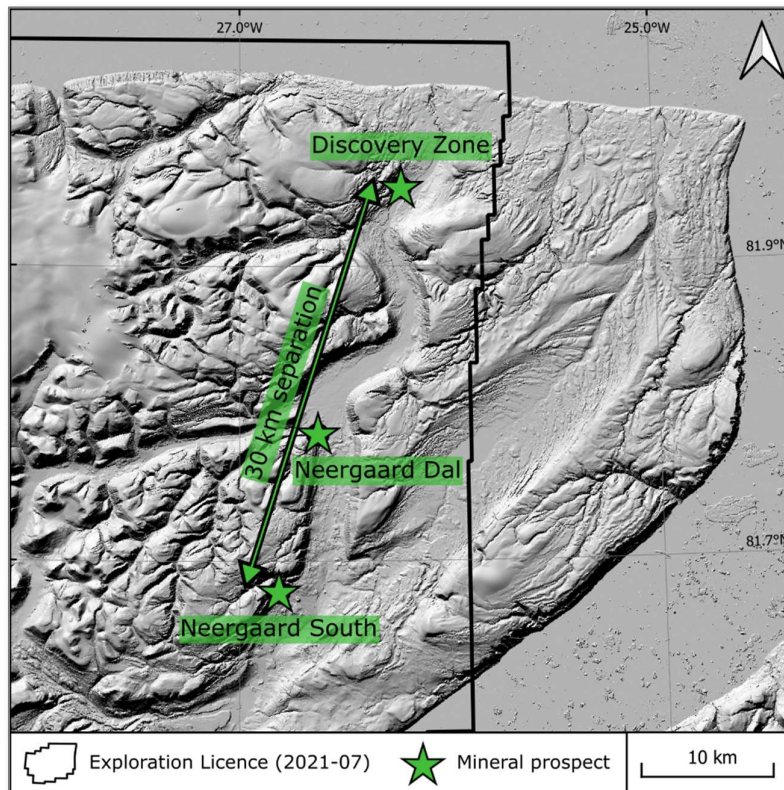
Rys. 1: Próbką miedzi rodzimej pozyskana w sąsiedztwie Discovery Zone w 1994 r.

Spółka GreenX Metals Limited (**GreenX** lub **Spółka**) oraz jej partner w ramach joint venture (**JV**) Greenfields Exploration Ltd (**Greenfields**) z przyjemnością ogłaszają wyniki wstępnej analizy trzech historycznych próbek miedzi rodzimej pobranych w ramach Projektu ARC (**ARC** lub **Projekt**) na Grenlandii. Próbki zostały pozyskane z niedawno udostępnionego magazynu geologicznego agencji rządowej w Kopenhadze. Trzy próbki miedzi rodzimej pobrane w obrębie Discovery Zone, Neergaard Dal i Neergaard South w ramach Projektu ARC zostały poddane zaawansowanemu badaniu mikro-XRF, które stanowi bardziej precyzyjną i wszechstronną technologię w porównaniu z typowymi przenośnymi urządzeniami XRF. Najlepszy wynik badania uzyskano dla próbki pobranej w południowej części Discovery Zone (rys. 1), która wykazała średnią **czystość miedzi** na poziomie **99,8%**, **255 g/t srebra**, 0,004% antymonu i 0,000% arsenu. Próbki z Neergard Dal (rys. 8 i 9) oraz Neergard South (rys. 11 i 12) wykazały **czystość miedzi** na poziomie odpowiednio **99,7%** i **99,4%**, przy czym w żadnej z nich nie wykryto pierwiastków szkodliwych. Wysoka jakość analizowanych próbek jest porównywalna z miedzią konwertorową, czyli produktu który zwykle jest wytwarzany w procesie wytopienia, przed skierowaniem do rafinerii.

Dr Jon Bell, dyrektor techniczny Greenfields, powiedział: „Byliśmy pewni, że miedź rodzima okaże się materiałem o niskiej zawartości szkodliwych pierwiastków, ale nie spodziewaliśmy się, że wyniki będą tak spektakularne. Zastosowanie badań nieniszczących oznacza, że możemy rozpocząć zbieranie informacji z zakresu metalurgii oraz klas materiałowych już na wczesnym etapie prowadzenia prac poszukiwawczych.”

ZARYS HISTORYCZNY

W czerwcu 2022 r. JV uzyskała dostęp do nowo udostępnionych rządowych magazynów prób geologicznych w Kopenhadze w Danii. W składach tych przechowywane są liczne próbki historyczne pochodzące z Projektu ARC, zebrane w znacznej mierze w latach 1978 i 1979 w obrębie obszaru rozciągającego się w promieniu 30 km od otworów poszukiwawczych Discovery Zone, Neergaard Dal i Neergaard South (rys. 2).



Rys. 2: Lokalizacja próbek miedzi rodzimej.

Uwaga: Próbki z obszaru Discovery Zone i Neergaard Dal South pochodzą z tzw. wpływu, choć uznaje się je za proksymalne względem źródła. Brekcja szczelinowa z Neergaard Dal jest widoczna in situ.

Zidentyfikowano trzy próbki miedzi rodzimej, tj. metalu o niemal idealnej czystości, występującego w sposób naturalny:

- miedź rodzimą pobraną bezpośrednio na południe od otworu poszukiwawczego Discovery Zone (rys. 4 i 5),
- miedź szczelinową pobraną z centralnego otworu Neergaard Dal (rys. 6-9), oraz
- miedź rodzimą pobraną z obiektu Neergaard South (rys. 10-12).

Co kluczowe, występowanie próbek w otworach poszukiwawczych Neergaard Dal i Neergaard South nie było wcześniej odnotowane w zbiorze danych historycznych.

Cechy wspólne z miedzią pobraną na Półwyspie Keweenaw

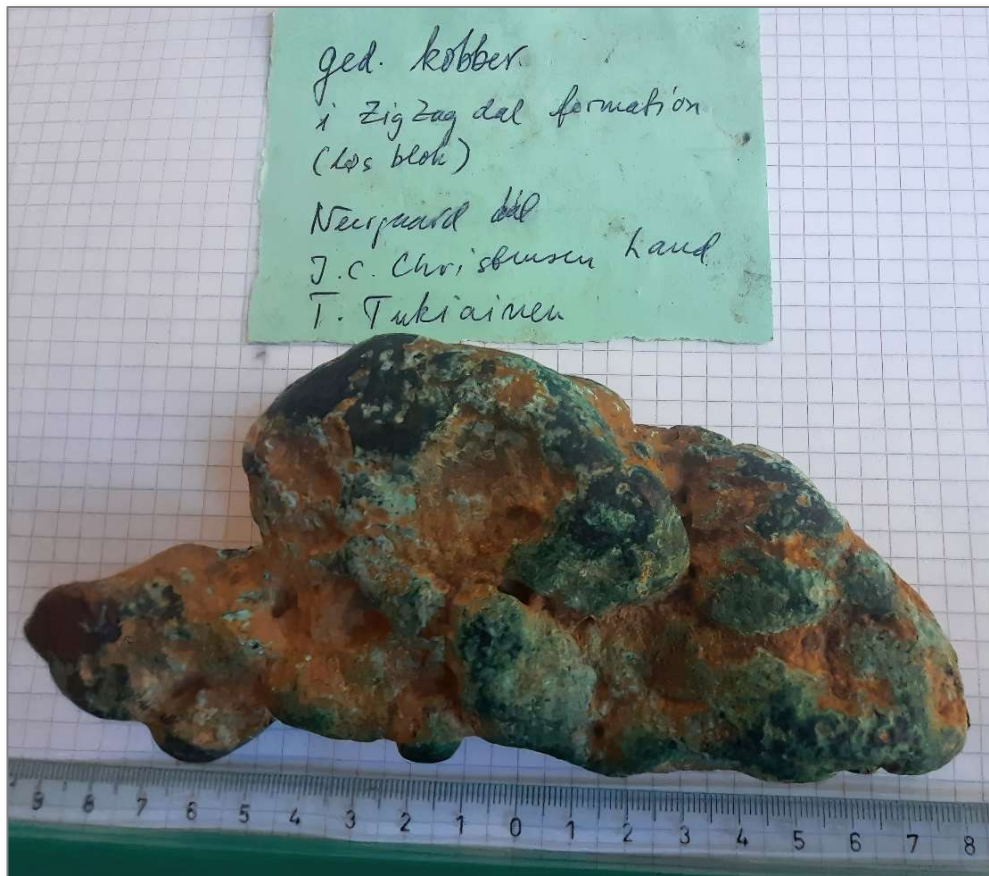
Miedź rodzima w ARC jest szczególnie interesująca dla Spółki ze względu na jej potencjalne geologiczne podobieństwo do miedzi pochodzącej z Półwyspu Keweenaw (stan Michigan w USA). Miedź rodzima z Półwyspu Keweenaw była szczególnie wzbogacona, niemal czysta, z niewielką ilością pierwiastków szkodliwych. Ze względu na wysoką czystość pozyskanych próbek historycznych, w opinii Spółki uzyskane wyniki przypominają mineralizację z Półwyspu Keweenaw. Spółka spodziewa się, że przyszłe wyniki prac poszukiwawczych potwierdzą to wskazanie.

Głównym pierwiastkiem ubocznym występującym w miedzi z Półwyspu Keweenaw było srebro; pierwiastek ten jest również wykazywany w historycznych oznaczeniach ARC, a obecnie analizowana próbka z Discovery Zone (rys. 1) zawiera 255g/t Ag. Warto zwrócić uwagę, że archiwalia dotyczące srebra z Półwyspu Keweenaw są niepełne, gdyż według doniesień, duża ich część została sprzeniewierzona przez górników, co świadczy o wielkości i jakości srebra. Dawne spółki górnicze z Półwyspu Keweenaw były skoncentrowane na czystej miedzi rodzimej, która w niektórych przypadkach występowała w samorodnych okazach ważących wynosiła setki kilogramów. Tego typu skrajne okazy miedzi rodzimej znajdowały się w „szczelinach” (uskokach). Warto zauważyć, że próbka miedzi rodzimej z Neergaard Dal znajduje się w obrębie uskoku, co stwarza potencjał dla równie intensywnej mineralizacji.



Rys. 3: Polerowane samородki miedzi rodzimej z Półwyspu Keweenaw w stanie Michigan (USA).

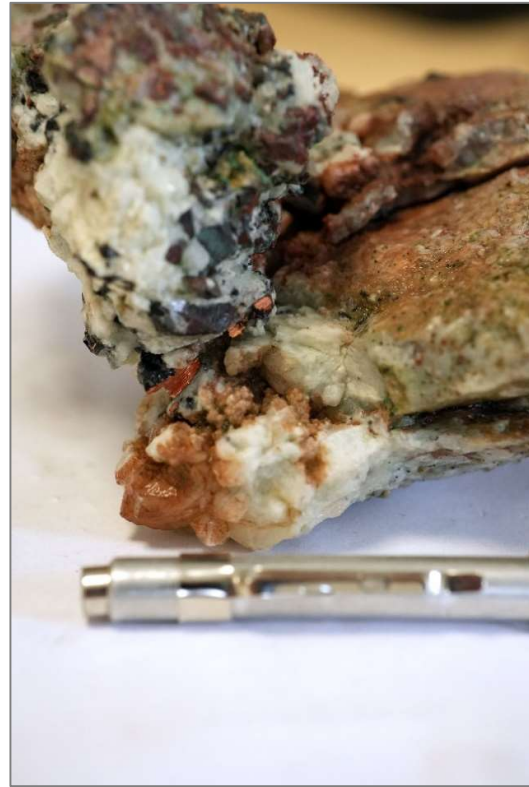
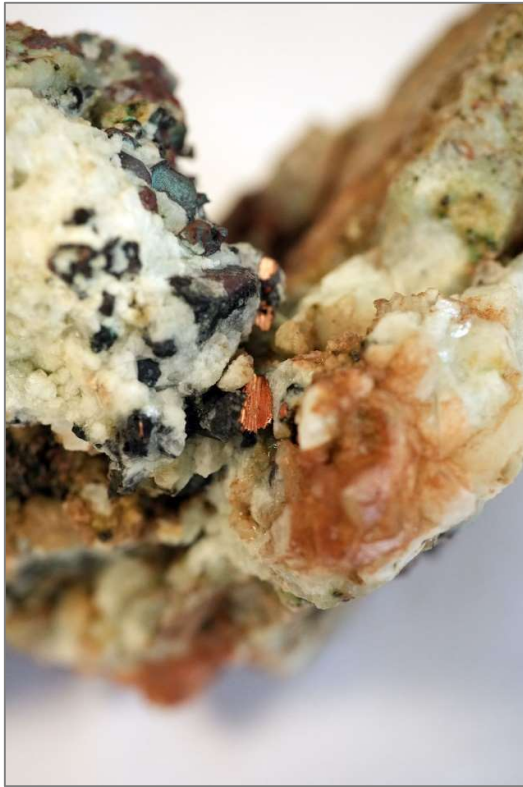
GALERIA PRÓBEK MIEDZI RODZIMEJ



Rys. 4: Próbkę miedzi rodzimej pozyskana bezpośrednio na południe od otworu poszukiwawczego siarczków miedzi w obrębie Discovery Zone w 1994 r.



Rys. 5: Zwięzła powierzchnia wypolerowana przez Greenfields, eksponująca świeżą miedź/stop miedzi. Tę wyeksponowaną powierzchnię wykorzystano do analizy mikro-XRF.



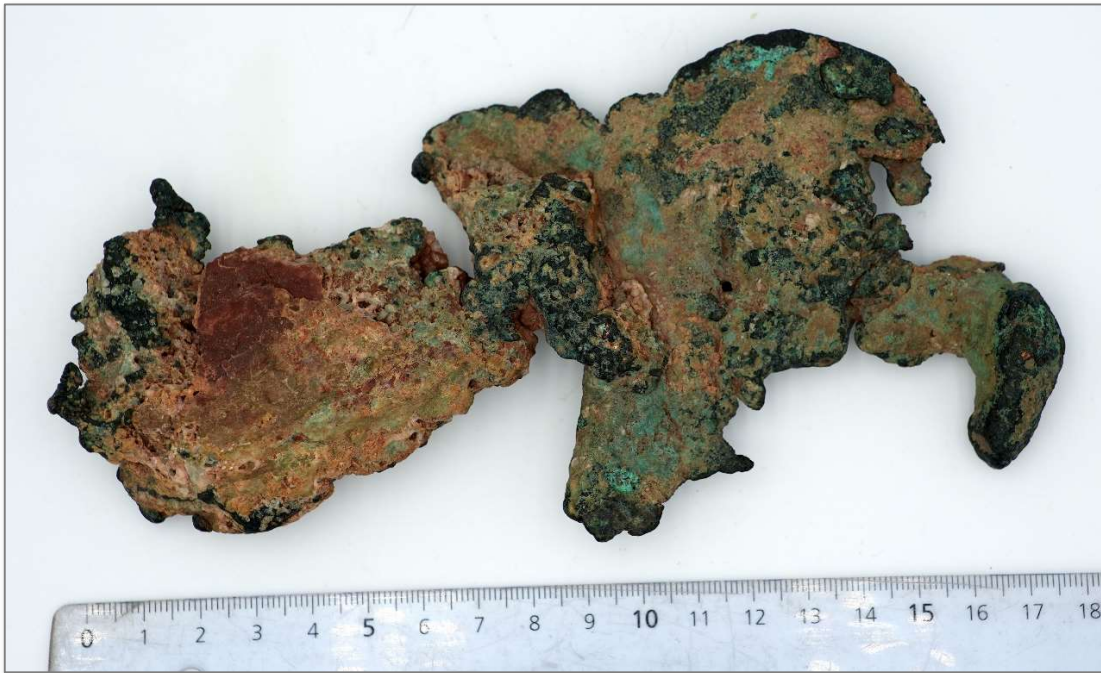
Rys. 6 i 7: Miedź szczelinowa z Neergaard Dal.

Uwaga: Miedź błyszcząca w centralnej części próbki jest wynikiem przecierania. Zwiędzła bryła miedzi znajduje się na lewo od przetartego fragmentu i objawia się jako ciemna/lekko zielona masa, zatem zakres zawartości miedzi rodzimej jest znacznie większy niż wynika to wprost z fotografii.



Rys. 8 i 9: Miedź szczelinowa z Neergaard Dal.

Uwaga: Stopień zawartości miedzi rodzimej widać dopiero po wykonaniu cięcia.



Rys. 10: Próbkę miedzi rodzimej z Neergaard South, o której składowaniu nie było wcześniej wiadomo.

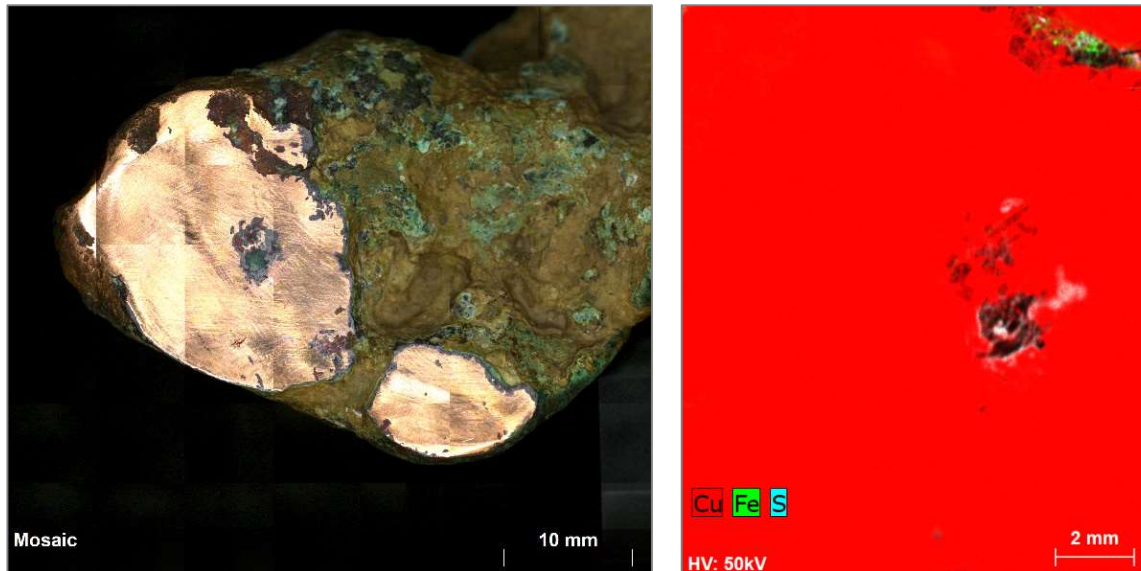


Rys. 11 i 12: (po lewej stronie) Próbkę Neergaard South przedstawiającą główną bryłę, jak również jej wycinek (po prawej stronie). Zbliżenie na odcięty fragment, pokazujące mały obszar wypolerowany na płasko do celów analizy mikro-XRF.

WYNIKI ANALIZY MIKRO-XRF

Uważa się, że mineralizacja ARC jest wynikiem wielu wydarzeń mineralizacyjnych, wczesnych obejmujących miedź rodzimą i późniejszych obejmujących siarczku miedzi. Ocena jakości miedzi rodzimej stanowiła istotny element tej wstępnej analizy. Próbkę miedzi rodzimej z Discovery Zone została częściowo wypolerowana, a następnie przekazana do niezależnego ośrodka uniwersyteckiego, natomiast pozostałe dwie próbki zostały wysłane do firmy konsultingowej w celu przeprowadzenia analizy mikro-XRF. Tę zaawansowaną technologię wykorzystano do wykonania prześwietleń, w ramach których przeprowadzono bardziej precyzyjne analizy punktowe. Podobnie jak powszechnie znane przenośne urządzenia XRF, urządzenia mikro-XRF wykorzystują fluorescencję promieniowania rentgenowskiego do analizy składu elementarnego próbki. Jednakże urządzenie mikro-XRF jest o rząd wielkości bardziej precyzyjne niż przenośne urządzenie XRF; dzięki temu można również wykonywać oznaczenia na znacznie większych obszarach, co daje istotną przewagę zarówno w zakresie

precyzji, jak i stosowanej skali. Urządzenie mikro-XRF jest wystarczająco czułe, aby przeprowadzać analizy rzędu wielkości do 0,025 mm, podczas gdy przenośne urządzenia XRF pozwalają na analizę materiału o grubości ziarna do 3,0 mm, czyli około 120 razy większej. W wyniku badania można wygenerować bardzo dokładne mapy pierwiastków (rys. 9 i 10). W celu przeprowadzenia kontroli punktowych, posłużono się przenośnym urządzeniem XRF skalibrowanym względem stopu miedzi w charakterze urządzenia do badań punktowych. Dzięki zastosowaniu specjalnie skalibrowanej jednostki uzyskano wyniki podobne do tych, które otrzymano przy użyciu jednostek mikro-XRF o dużej mocy.



Rys. 13 i 14: Obraz z urządzenia mikro-XRF

Uwaga: Obydwa obrazy uzyskano w odmiennych skalach. Wyizolowany obszar zmatowionej miedzi rodzimej pokazano na rys. 13, natomiast na mapie żelaza (Fe) i siarki (S) po prawej stronie, na rys. 14.

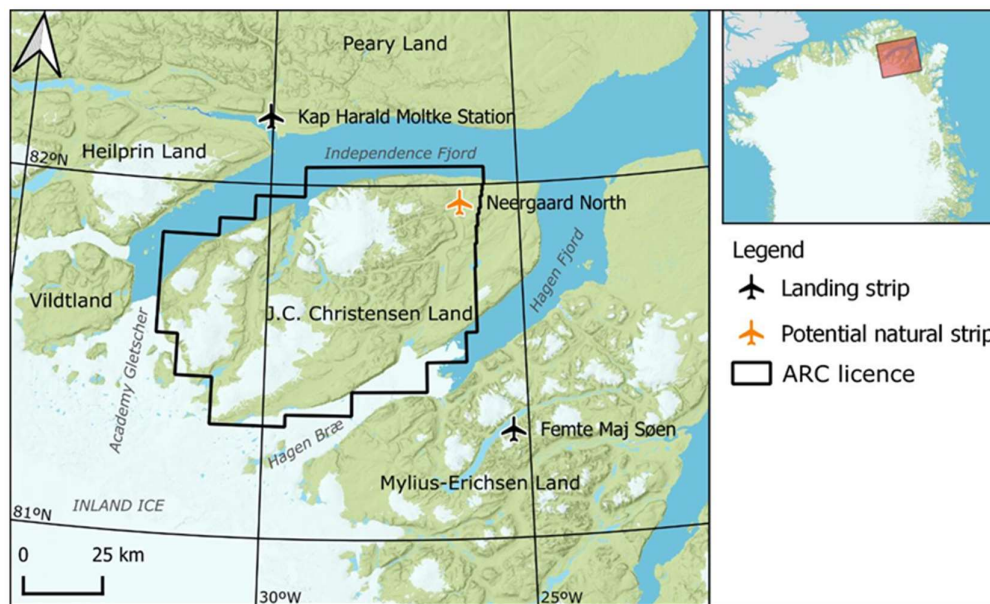
Dzięki zastosowaniu badania nieniszczącego można uzyskać informacje zarówno w zakresie pierwiastków, jak i mineralogii. Aby określić czystość miedzi rodzimej, konieczne jest jedynie przeprowadzenie analizy pierwiastkowej. Statystyki badań przedstawiono w tabelach 1-3 oraz na rys. 16. Informacje te są przydatne do kierowania przyszłymi, ilościowymi programami prac skoncentrowanymi na jakości miedzi rodzimej, które mogą obejmować oznaczenia. Dodatkowe tabele statystyczne zamieszczono w załącznikach od A do C.

DALSZE PRACE

Wyniki analizy mikro-XRF potwierdzają potencjalną jakość mineralizacji w ramach projektu ARC stanowiąc podstawę do realizacji bieżącego programu prac terenowych. Obecny program obejmuje pobieranie próbek geochemicznych, przenośne wiercenia rdzeniowe oraz geofizykę w miejscach o wysokim priorytecie w projekcie ARC. Priorytetowym celem poszukiwań jest Discovery Zone, gdzie uzyskano próbkę o najwyższej czystości. GreenX spodziewa się, że w ciągu najbliższych miesięcy będzie mogła opublikować dalsze istotne informacje dotyczące tego projektu.

INFORMACJE O PROJEKCIE ARCTIC RIFT COPPER

Projekt Arctic Rift Copper (ARC) jest wspólnym przedsięwzięciem eksploracyjnym spółek GreenX i Greenfields. GreenX może nabyć do 80% udziałów w toku realizacji Projektu ARC, inwestując 10 mln AUD do października 2026 r. Celem Projektu ARC jest poszukiwanie miedzi występującej w dużą skalę w różnorodnych lokalizacjach w obrębie obszaru o powierzchni 5 774 km² objętego specjalną koncesją poszukiwawczą zlokalizowanego we wschodniej części Północnej Grenlandii (rys. 15). Obszar ten był dotąd niedostatecznie zbadany, ale jest perspektywiczny w kontekście wydobycia miedzi, stanowiąc część nowo odkrytej prowincji metalogenicznej o nazwie Kiffaangissuseq. Eksperci sądzą, że prowincja ta jest pod względem geologicznym analogiczna do Półwyspu Keweenaw w stanie Michigan w USA, który przed rozpoczęciem eksploatacji zawierał zasoby wynoszące ponad +7 mln ton miedzi zawartej w siarczku i 8,9 mln ton miedzi rodzimej. Podobnie jak w przypadku Półwyspu Keweenaw, o Projekcie ARC wiadomo, że zawiera na powierzchni siarczki miedzi o wysokim stopniu mineralizacji, „szczelinową” miedź i miedź rodzimą zawartą w jamach gazu i warstwach pomiędzy strumieniami lawy.



Rys. 15: Obszar objęty koncesją ARC

Tabela 1: Statystyka pierwiastkowa badanej miedzi rodzimej z obszaru Discovery Zone

Pierwiastki	Cu	Ag	Zn	As	Sb	S	Cr	Mn	Fe
Jednostki	%	g/t	%	%	%	%	%	%	%
Mediana	99.83	255	0.01	0.0000	0.0036	0.01	0.02	0.00	0.03
(Arytmetyczna) wartość uśredniona	99.78	319	0.01	0.0058	0.0121	0.01	0.09	0.01	0.04
Maks.	99.93	1,397	0.15	0.0492	0.0817	0.05	0.69	0.14	0.17
Min.	99.2	-	0.01	0.0000	0.0000	0.00	0.01	0.00	0.01
Odchylenie standardowe	0.15	302	0.02	0.0115	0.0166	0.01	0.16	0.02	0.02
Skos	-2.19	1	8.21	2.40	1.74	1.20	2.75	5.57	4.20
Kurtoza	4.36	2	68.34	5.13	3.48	0.70	6.73	35.62	26.14

Niniejsza tabela przedstawia częściowy szereg pierwiastków z obniżoną filtracją diagnostyczną. Możliwe, że niektóre z odpowiedzi spektralnych stanowią sztuczne wskazania. W przypadku srebra, arsenu i antymonu, w opinii Spółki, odpowiedzi są realistyczne, biorąc pod uwagę dostępne wiadomości o charakterze mineralizacji oraz historyczne dane z badań.

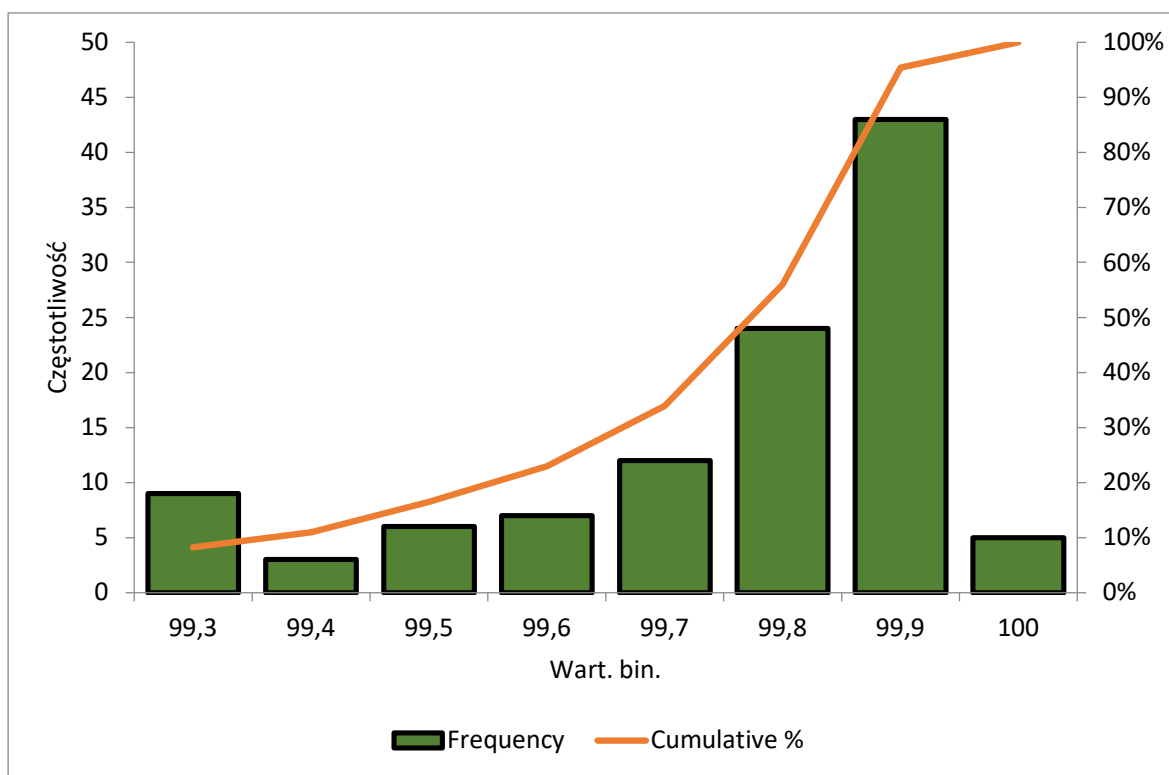
Tabela 2: Statystyka pierwiastkowa badanej miedzi rodzimej z obszaru Neergaard Dal

Pierwiastki	Cu	Al	Si	S
Jednostki	%	%	%	%
Mediana	99.69	0.20	0.10	0.01
(Arytmetyczna) wartość uśredniona	99.61	0.33	0.95	0.03
Maks.	99.74	0.33	0.95	0.03
Min.	98.69	0.18	0.06	0.00
Odchylenie standardowe	0.24	0.03	0.22	0.01
Skos	-3.14	3.36	3.06	0.89
Kurtoza	9.74	14.02	8.9	-0.47

Niniejsza tabela przedstawia przefiltrowany szereg istotnych odpowiedzi pierwiastków na podstawie oceny konsultanta, który skupił się na najbardziej pewnych odpowiedziach spektralnych.

Tabela 3: Statystyka pierwiastkowa badanej miedzi rodzimej z obszaru Neergaard South				
Pierwiastki	Cu	Al	Si	S
Jednostki	%	%	%	%
Mediana	99.40	0.23	0.34	0.02
(Arytmetyczna) wartość uśredniona	99.40	0.23	0.34	0.02
Maks.	99.59	0.32	0.51	0.05
Min.	99.13	0.19	0.19	0.01
Odchylenie standardowe	0.15	0.04	0.11	0.01
Skos	-0.32	1.25	0.09	1.91
Kurtoza	1.2	-1.27	4.00	2.16

Niniejsza tabela przedstawia przefiltrowany szereg istotnych odpowiedzi pierwiastków na podstawie oceny konsultanta, który skupił się na najbardziej pewnych wynikach spektralnych.



Rys. 16: Histogram łączny dla wszystkich trzech próbek

Stwierdzenia dotyczące przyszłości

Niniejszy komunikat prasowy może zawierać stwierdzenia dotyczące przyszłości, na których występowanie mogą wskazywać słowa takie jak „spodziewa się”, „przewiduje”, „uważa”, „projekty”, „plany” oraz podobne wyrażenia. Takie stwierdzenia odnoszące się do przyszłości są oparte na oczekiwaniach i przekonaniach GreenX dotyczących przyszłych wydarzeń. Stwierdzenia dotyczące przyszłości są obarczone ryzykiem, niepewnością i innymi czynnikami, z których wiele leży poza kontrolą GreenX, w wyniku czego rzeczywiste wyniki będą istotnie odbiegać od tych stwierdzeń. Nie można zagwarantować, że stwierdzenia dotyczące przyszłości okażą się trafne. GreenX nie zobowiązuje się do późniejszej aktualizacji ani korekty stwierdzeń dotyczących przyszłości zawartych w niniejszym dokumencie celem odzwierciedlenia okoliczności lub wydarzeń, które wystąpiły po dniu sporządzenia niniejszego dokumentu.

Oświadczenie osób kompetentnych

Informacje zawarte w niniejszym ogłoszeniu, odnoszące się do wyników badań, zostały oparte na informacjach zebranych przez dra Jonathana Bella – osobę kompetentną będącą członkiem Australijskiego Instytutu Geologów. Dr Bell pełni funkcję dyrektora wykonawczego (ds. technicznych) spółki Greenfields Exploration Limited i posiada pośredni udział w prawach do zapisu na akcje GreenX. Dr Bell posiada wystarczające doświadczenie, odpowiednie do typu mineralizacji i rodzaju badanego złoża oraz podejmowanej działalności, by sklasyfikować go jako osobę kompetentną w rozumieniu definicji zawartej w „Australoazjatyckim kodeksie raportowania wyników prac poszukiwawczych, zasobów mineralnych i złóż rud” (Australasian Code for Reporting of Exploration Results, Mineral Resources and Ore Reserves) z 2012 r. Dr Bell wyraża zgodę na umieszczenie w niniejszym ogłoszeniu informacji opartych na wynikach jego prac w formie i kontekście, w jakim się w nim pojawiły.

Niniejsze ogłoszenie zostało zatwierdzone do publikacji przez Bena Stoikovicha pełniącego funkcję dyrektora generalnego (CEO) GreenX.

ZAŁĄCZNIK A: ZAWARTOŚĆ PIERWIASTKÓW MIKRO XRF W PRÓBCE POBRANEJ W OBRĘBIE OBSZARU DISCOVERY ZONE

Bruker Nano
GmbH, Niemcy
M4 Tornado
09.06.2022 r.
Wyniki
kwantyfikacji
Procent obj. (%)

Data:

Widmo
promieniowania 0,02

	Cu	Ag	Co	Ni	Au	Zn	As	Sb	S	Cr	Mn	Fe
Mediana	99,8	255	0,01	0,00	-	0,01	0,0000	0,003	0,01	0,02	0,00	0,03
(Arytmetyczna)	3%		%	%		%	%	6%	%	%	%	%
wartość	99,7		0,01	0,00		0,01	0,0058	0,012	0,01	0,09	0,01	0,04
uśredniona	8%	319	%	%	31	%	%	1%	%	%	%	%
Maks.	99,9		0,03	0,03		0,15	0,0492	0,081	0,05	0,69	0,14	0,17
	3%	1,397	%	%	575	%	%	7%	%	%	%	%
Min.	99,2		0,01	0,00		0,01	0,0000	0,000	0,00	0,01	0,00	0,01
	5%	-	%	%	-	%	%	0%	%	%	%	%
SD	0,15		0,00	0,00		0,02	0,0115	0,016	0,01	0,16	0,02	0,02
	%	302	%	%	90	%	%	6%	%	%	%	%
Skos	2,19	1	3,52	7,01	4	8,21	2,40	1,74	1,20	2,75	5,57	4,20
Kurtoza	4,36	2	21,1	51,4	21	68,3	5,13	3,48	0,70	6,73	35,6	26,1
			2	3		4					2	4
Zn_and_normal_	99,4		0,01			0,00	0,0015		0,00	0,44		0,04
areas 82	8053	0	0484	0	0	9948	21198	0	1635	602	0	9864
Zn_and_normal_	99,7	0,063	0,00			0,00		0,006	0,03	0,08	0,05	0,02
areas 81	1564	31587	8421	0	0	9972	0	3919	5094	5398	5051	0712
Zn_and_normal_	99,5	0,123	0,00		0,00	0,00		0,030	0,00	0,13	0,14	0,01
areas 80	2458	59591	9276	0	0284	9952	0	4267	8835	8741	3506	0806
Zn_and_normal_	99,2		0,00			0,00	0,0073	0,047	0,01	0,61		0,04
areas 79	5101	0	9219	0	0	9925	30727	0599	6861	8008	0	0588
Zn_and_normal_	99,9	3,621	0,00			0,00		0,034	0,01	0,01		0,02
areas 78	0128	3E-05	896	0	0	999	0	1853	1119	0896	0	3538
Zn_and_normal_	99,4	0,017	0,00			0,00	0,0003		0,01	0,46		0,03
areas 77	5732	75047	948	0	0	9946	37071	0	1012	2366	0	1793
Zn_and_normal_	99,6	0,092	0,01		0,00	0,00			0,02	0,07	0,05	0,04
areas 76	7852	25785	3582	0	5091	9968	0	0	642	3547	8492	2123
Zn_and_normal_	99,8		0,01		0,00	0,00			0,02	0,02	0,03	0,04
areas 75	4204	0	5345	0	9336	9984	0	0	2632	8685	023	1752
Zn_and_normal_	99,8	0,007	0,00			0,00	0,0387	0,004	0,04	0,01		0,02
areas 74	431	83151	9072	0	0	9984	61831	6371	4728	695	0	4935
Zn_and_normal_	99,8	0,042	0,01			0,00		0,018	0,03	0,01	0,00	0,02
areas 73	4692	18033	0165	0	0	9985	0	8927	124	062	0691	9303
Zn_and_normal_	99,9	0,015	0,00			0,00		0,009	0,01	0,00		0,02
areas 72	0603	71432	9837	0	0	9991	0	4404	6629	9923	0	2434
Zn_and_normal_	99,7	0,029	0,00			0,00		0,022	0,00	0,12		0,04
areas 71	5626	85474	8658	0	0	9976	0	6209	4268	7337	0	1027
Zn_and_normal_	99,8	0,035	0,01		0,00	0,00		0,015	0,03	0,02	0,00	0,05
areas 70	015	3914	0177	0	2915	998	0	0694	899	6203	7096	2681

Zn_and_normal_areas 69	99,8	0,016	0,01			0,00	0,0003		0,03	0,01	0,00	0,04
Zn_and_normal_areas 68	619	69255	3167	0	0	9986	78565	0	2389	9832	4846	0807
Zn_and_normal_areas 67	99,8	0,023	0,01			0,00		0,014	0,02	0,00		0,02
Zn_and_normal_areas 66	8677	07305	1092	0	0	9989	0	0025	2408	834	0	4321
Zn_and_normal_areas 65	99,8	0,063	0,01			0,00			0,02	0,03	0,01	0,03
Zn_and_normal_areas 64	2003	18373	2787	0	0	9982	0	0	0148	0262	0989	2615
Zn_and_normal_areas 63	99,7	0,022	0,01		0,02	0,00	0,0061		0,03	0,04		0,07
Zn_and_normal_areas 62	6601	51341	2644	0	7953	9977	23192	0	616	323	0	5391
Zn_and_normal_areas 61	99,8	0,063	0,01			0,00	0,0139	0,003	0,00	0,01	0,00	0,06
Zn_and_normal_areas 60	1774	07957	136	0	0	9982	61435	37	3299	0652	1138	5421
Zn_and_normal_areas 59	99,7	0,084	0,00		0,00	0,00			0,01	0,03	0,01	0,04
Zn_and_normal_areas 58	8699	36548	9984	0	6395	9979	0	0	4478	0448	2993	4365
Zn_and_normal_areas 57	99,8	0,015	0,01			0,00	0,0231		0,03	0,01	0,00	0,03
Zn_and_normal_areas 56	3924	6951	1816	0	0	9984	2325	0	7036	8172	783	7103
Zn_and_normal_areas 55	99,8	0,032	0,01			0,00		0,009	0,02	0,01	0,00	0,03
Zn_and_normal_areas 54	4961	00754	4082	0	0	9985	0	2223	6827	3835	5396	9034
Zn_and_normal_areas 53	99,8	0,030	0,01		0,00	0,00	0,0050		0,03	0,02		0,06
Zn_and_normal_areas 52	2637	533	1156	0	0194	9983	37741	0	4211	1924	0	0587
Zn_and_normal_areas 51	99,7	0,023	0,00		0,05	0,00	0,0012	0,051	0,02	0,03		0,05
Zn_and_normal_areas 50	4062	90928	8227	0	7468	9974	89064	1308	0326	5409	0	1646
Zn_and_normal_areas 49	99,8	0,062	0,01			0,00	0,0003		0,01	0,01	0,00	0,05
Zn_and_normal_areas 48	3234	54426	1053	0	0	9983	38353	0	1131	5718	1633	526
Zn_and_normal_areas 47	99,8	0,019	0,01		0,00	0,00		0,019	0,00	0,02	0,00	0,04
Zn_and_normal_areas 46	6079	00527	0048	0	3785	9986	0	093	0874	8078	6088	2249
Zn_and_normal_areas 45	99,8	0,020	0,01			0,00			0,05	0,00	0,00	0,04
Zn_and_normal_areas 44	5288	23063	3415	0	0	9985	0	0	3415	8679	0227	1169
Zn_and_normal_areas 43	99,8	0,041	0,01			0,00		0,006	0,03	0,01	0,00	0,04
Zn_and_normal_areas 42	271	84688	4881	0	0	9983	0	414	3573	5562	7759	2877
Zn_and_normal_areas 41	99,8		0,01		0,01	0,00	0,0003		0,03	0,02		0,04
Zn_and_normal_areas 40	7162	0	0795	0	2857	9987	98998	0	0385	0978	0	2983
Zn_and_normal_areas 39	99,8		0,01		0,00	0,00		0,035	0,01	0,02		0,04
Zn_and_normal_areas 38	5592	0	0995	0	962	9986	0	722	5101	058	0	2077
Zn_and_normal_areas 37	99,7	0,100	0,00		0,00	0,00		0,025	0,01	0,03	0,02	0,04
Zn_and_normal_areas 36	324	96725	8895	0	7784	9973	0	4151	4375	6228	0755	3208
Zn_and_normal_areas 35	99,8	0,025	0,01			0,00	0,0233		0,00	0,01	0,00	0,04
Zn_and_normal_areas 34	6848	461	0428	0	0	9987	95734	0	1085	3272	2092	5796
Zn_and_normal_areas 33	99,8	0,046	0,01			0,00	0,0033			0,00	0,00	0,03
Zn_and_normal_areas 32	7737	34072	4392	0	0	9988	44793	0	0	9408	0934	8219
Zn_and_normal_areas 31	99,8	0,028	0,01			0,00			0,02	0,01	0,00	0,02
Zn_and_normal_areas 30	8344	50463	3358	0	0	9988	0	0	4008	0313	0669	9716
Zn_and_normal_areas 29	99,8	0,030	0,01			0,00		0,005	0,01	0,01		0,03
Zn_and_normal_areas 28	7994	75256	3375	0	0	9988	0	9852	2563	6549	0	085
Zn_and_normal_areas 27	99,8	0,056	0,01		0,01	0,00		0,012	0,00	0,02		0,04
Zn_and_normal_areas 26	1195	04722	3055	0	6996	9981	0	5456	8564	5869	0	4987
Zn_and_normal_areas 25	99,8	0,016	0,00			0,00	0,0295			0,00		0,03
Zn_and_normal_areas 24	9405	05605	9142	0	0	9989	04771	0	0	9565	0	1696
Zn_and_normal_areas 23	99,7	0,016	0,01			0,00	0,0492	0,081	0,00	0,00		0,03
Zn_and_normal_areas 22	8677	18082	2265	0	0	9979	39073	7482	452	9064	0	0234
Zn_and_normal_areas 21	99,8	0,037	0,01			0,00	0,0085		0,00	0,01	0,00	0,04
Zn_and_normal_areas 20	7124	75575	2736	0	0	9987	92669	0	4497	3733	127	0185
Zn_and_normal_areas 19	99,8	0,026	0,01			0,00		0,021	0,00	0,02	0,00	0,03
Zn_and_normal_areas 18	6086	4772	5158	0	0	9986	0	7187	3496	4725	3606	3971
Zn_and_normal_areas 17	99,7	0,016	0,01			0,00		0,003	0,01	0,13	0,00	0,03
Zn_and_normal_areas 16	6525	45323	558	0	0	9977	0	5768	2742	8397	1232	6791
Zn_and_normal_areas 15	99,9		0,01			0,00	0,0058	0,003	0,00	0,02		0,03
Zn_and_normal_areas 14	0559	0	3961	0	0	9991	03438	3254	3414	4058	0	3859
Zn_and_normal_areas 13	99,9		0,00			0,00	0,0015		0,00	0,00		0,04
Zn_and_normal_areas 12	1932	0	7057	0	0	9992	37063	0	6565	9309	0	6222
Zn_and_normal_areas 11	99,8	0,060	0,00			0,00	0,0006	0,036	0,00	0,01		0,02
Zn_and_normal_areas 10	4409	83985	731	0	0	9984	4345	3117	3111	1066	0	6647
Zn_and_normal_areas 9	99,8	0,038	0,01			0,00	0,0067	0,001	0,00	0,01		0,04
Zn_and_normal_areas 8	7593	68358	0721	0	0	9988	52162	9693	1308	3344	0	131

Zn_and_normal_areas 38	99,8	0,004	0,01			0,00	0,0300	0,028	0,00	0,01		0,02
	7124	02956	4962	0	0	9987	04727	366	0957	4245	0	6204
Zn_and_normal_areas 37	99,8	0,033	0,01			0,00			0,01	0,04	0,00	0,04
	392	60156	4857	0	0	9984	0	0	4526	4884	2347	06
Zn_and_normal_areas 36	99,8	0,079	0,01			0,00	0,0043		0,00	0,02		0,04
	1678	13394	1308	0	1985	9982	32156	0	8964	6129	0	139
Zn_and_normal_areas 35	99,8	0,025	0,00			0,00	0,0041		0,00	0,01		0,03
	946	86648	8164	0	0	9989	61093	0	8346	0318	0	8559
Zn_and_normal_areas 34	99,8	0,028	0,00			0,02		0,023	0,00	0,00		0,04
	5317	53613	9119	0	0	8974	0	9332	2602	9297	0	4373
Zn_and_normal_areas 33	99,9		0,01			0,00			0,00	0,01		0,02
	3285	0	0464	0	0	9993	0	0	3624	337	0	9694
Zn_and_normal_areas 32	99,8	0,008	0,01			0,00	0,0196	0,004	0,00	0,02		0,02
	8793	77244	2976	0	0	9989	61017	3742	5394	1752	0	9154
Zn_and_normal_areas 31	99,8	0,016	0,01			0,01	0,00	0,0107	0,054	0,00	0,03	0,03
	0386	20226	2345	0	6344	998	40191	0501	9964	2916	0	3595
Zn_and_normal_areas 30	99,6	0,066	0,01			0,03	0,00		0,01	0,02		0,16
	6744	17634	2454	0	6268	9967	0	0	351	8296	0	5888
Zn_and_normal_areas 29	99,8		0,01			0,00	0,0384	0,018	0,00	0,01		0,02
	7499	0	452	0	0	9987	0998	2549	4655	1028	0	8156
Zn_and_normal_areas 28	99,8		0,01			0,14	0,0001	0,001	0,00	0,01		0,01
	0579	0	3234	0	0	9768	62021	0699	0884	0086	0	9003
Zn_and_normal_areas 27	99,8		0,01			0,00	0,0460	0,001	0,00	0,01		0,02
	8963	0	4224	0	0	9989	67139	2819	0302	3108	0	5401
Zn_and_normal_areas 26	99,8	0,022	0,01			0,00	0,0009	0,005	0,00	0,02		0,02
	9194	09734	1488	0	0	9989	93312	8203	2896	574	0	9032
Zn_and_normal_areas 25	99,8	0,037	0,00			0,00	0,0023	0,031	0,00	0,03		0,03
	2937	33356	8376	0	0	9983	49026	7478	9663	6347	0	4836
Zn_and_normal_areas 24	99,8		0,03			0,00			0,01	0,03		0,06
	4828	0	2538	0	0	9985	0	0	1661	3168	0	4368
	99,8	0,059	0,00			0,00	0,0009	0,022	0,00	0,02	0,00	0,03
Ni_rich_area 22	2824	31445	8657	0	0	9983	43875	1122	8672	4681	0971	6425
	99,8	0,041	0,01			0,00		0,006	0,00	0,01	0,00	0,02
Ni_rich_area 21	8652	76941	0882	0	0	9989	0	9708	0809	604	0777	6246
	99,7	0,072	0,00			0,00		0,035		0,11		0,02
Ni_rich_area 20	3259	822	9466	0	0	9973	0	1901	0	2203	0	7752
	99,7	0,040	0,01			0,00			0,00	0,13		0,02
Ni_rich_area 19	7885	4977	0008	0	0	9978	0	0	0882	3512	0	6268
	99,7	0,059	0,00			0,00		0,020	6,78	0,10		0,02
Ni_rich_area 18	6725	79761	8882	0	0	9977	0	374	E-05	8896	0	4753
	99,8	0,014	0,00			0,00	0,00	0,020	0,00	0,09	0,00	0,02
Ni_rich_area 17	1571	51649	7213	0	4552	9982	0	7233	2822	4087	1534	8857
	99,5	0,139	0,00			0,00		0,023	0,00	0,25		0,02
Ni_rich_area 16	3289	6942	9442	0	0	9953	0	9929	4307	0783	0	8937
	99,6	0,024	0,01			0,00		0,040	0,00	0,19		0,02
Ni_rich_area 15	8706	33213	075	0	0	9969	0	7525	7317	3532	0	6291
	99,7		0,00			0,00			0,00	0,16	0,02	0,01
Ni_rich_area 14	7227	0	9695	0	0	9977	0	0	5771	2012	3295	6982
	99,3	0,002	0,01	0,01		0,00	0,0096			0,58		0,01
Ni_rich_area 13	5286	5755	1904	3061	0	9935	26373	0	0	4031	0	6005
	99,2		0,01	0,00		0,00	0,0148		0,00	0,68		0,01
Ni_rich_area 12	5542	0	2297	032	0	9926	40959	0	1214	9209	0	6779
	99,2	0,037	0,01	0,03		0,00	0,0014		0,00	0,58		0,02
Ni_rich_area 11	9155	38731	2257	0765	0	9929	44255	0	4862	6412	0	5391

ZAŁĄCZNIK A: KORELACJE PIERWIĄTKÓW W PRÓBCE POBRANEJ W OBRĘBIE OBSZARU DISCOVERY ZONE

R	Cu	Ag	Co	Ni	Au	Zn	As	Sb	S	Cr	Mn	Fe
Cu	1,00	0,14	0,11	0,49	0,04	0,03	0,08	0,09	0,11	0,94	0,20	0,05
Ag		1,00	0,22	0,03	0,04	0,13	0,30	0,07	0,00	0,09	0,45	0,12
Co			1,00	0,03	0,06	0,05	0,08	0,25	0,07	0,09	0,07	0,18
Ni				1,00	0,05	0,02	0,03	0,12	0,12	0,51	0,05	0,12
Au					1,00	0,05	0,11	0,20	0,18	0,11	0,03	0,55
Zn						1,00	0,07	0,07	0,12	0,07	0,04	0,11
As							1,00	0,16	0,10	0,06	0,13	0,13
Sb								1,00	0,15	0,01	0,03	0,16
S									1,00	0,20	0,13	0,18
Cr										1,00	0,01	0,19
Mn											1,00	0,17
Fe												1,00
R ²	Cu	Ag	Co	Ni	Au	Zn	As	Sb	S	Cr	Mn	Fe
Cu	1,00	0,02	0,01	0,24	0,00	0,00	0,01	0,01	0,01	0,89	0,04	0,00
Ag		1,00	0,05	0,00	0,00	0,02	0,09	0,00	0,00	0,01	0,21	0,01
Co			1,00	0,00	0,00	0,00	0,01	0,06	0,00	0,01	0,00	0,03
Ni				1,00	0,00	0,00	0,00	0,01	0,01	0,26	0,00	0,02
Au					1,00	0,00	0,01	0,04	0,03	0,01	0,00	0,30
Zn						1,00	0,00	0,00	0,02	0,00	0,00	0,01
As							1,00	0,02	0,01	0,00	0,02	0,02
Sb								1,00	0,02	0,00	0,00	0,03
S									1,00	0,04	0,02	0,03
Cr										1,00	0,00	0,03
Mn											1,00	0,03
Fe												1,00

Korelacje pierwiastków pochodzą z próbki miedzi rodzimej pobranej w obrębie obszaru Discovery Zone. Kompletny zestaw wyników dla próbek Neergaard Dal i Neergaard South nie został dostarczony przez konsultanta.

ZAŁĄCZNIK B: ZAWARTOŚĆ PIERWIASTKÓW MIKRO XRF W PRÓBCE MIEDZI SZCZELINOWEJ NR 233852 POBRANEJ W OBRĘBIE OBSZARU NEERGAARD DAL

Bruker Nano GmbH, Niemcy

M4 Tornado

Wyniki kwantyfikacji

Procent obj. (%)

Data:

08.02.2022 r.

Widmo promieniowania

	Cu	Al	Si	S	Ti	Rh
Mediana	99,69	0,20	0,10	0,01	0,00	
(Arytmetyczna) wartość uśredniona	99,61	0,21	0,17	0,01	0,00	0,00
Maks.	99,74	0,33	0,95	0,03	0,00	
Min.	98,69	0,18	0,06	0,00	0,00	
SD	0,24	0,03	0,22	0,01	0,00	
Skos	-3,14	3,36	3,06	0,89	4,46	
Kurtoza	9,74	14,02	8,90	-0,47	21,26	
233852-25.spx	99,67	0,19	0,11	0,03	0,00	0,00
233852-24.spx	99,64	0,22	0,11	0,03	0,00	0,00
233852-23.spx	99,68	0,20	0,10	0,02	0,00	0,00
233852-22.spx	99,69	0,20	0,10	0,01	0,00	0,00
233852-21.spx	99,71	0,21	0,08	0,01	0,00	0,00
233852-20.spx	99,48	0,23	0,28	0,00	0,00	0,00
233852-19.spx	98,69	0,33	0,95	0,03	0,00	0,00
233852-18.spx	99,62	0,22	0,15	0,02	0,00	0,00
233852-17.spx	98,98	0,23	0,77	0,01	0,00	0,00
233852-16.spx	99,70	0,18	0,10	0,02	0,00	0,00
233852-15.spx	99,71	0,20	0,07	0,03	0,00	0,00
233852-14.spx	99,68	0,20	0,11	0,01	0,00	0,00
233852-13.spx	99,70	0,20	0,08	0,01	0,00	0,00
233852-12.spx	99,74	0,19	0,06	0,01	0,00	0,00
233852-11.spx	99,74	0,20	0,06	0,01	0,00	0,00
233852-10.spx	99,72	0,21	0,07	0,01	0,00	0,00
233852-09.spx	99,73	0,18	0,08	0,01	0,00	0,00
233852-08.spx	99,70	0,21	0,07	0,01	0,00	0,00
233852-07.spx	99,74	0,18	0,06	0,01	0,00	0,00
233852-06.spx	99,63	0,20	0,15	0,02	0,00	0,00
233852-05.spx	99,72	0,18	0,08	0,01	0,00	0,00
233852-04.spx	99,54	0,21	0,24	0,01	0,00	0,00
233852-03.spx	99,69	0,21	0,09	0,01	0,00	0,00
233852-02.spx	99,70	0,20	0,09	0,01	0,00	0,00
233852-01.spx	99,66	0,21	0,13	0,01	0,00	0,00

ZAŁĄCZNIK C: ZAWARTOŚĆ PIERWIASTKÓW MIKRO XRF W PRÓBCE MIEDZI NR 233852 POBRANEJ W OBRĘBIE OBSZARU NEERGAARD SOUTH

Bruker Nano GmbH, Niemcy

M4
Tornado

Wyniki kwantyfikacji

Procent obj. (%)

Data:

08.02.2022 r.

Widmo promieniowania	Cu	Al	Si	S	Ti	Rh
Mediana	99,40	0,23	0,34	0,02	0,00	0,00
(Arytmetyczna) wartość uśredniona	99,59	0,32	0,51	0,05	0,00	0,00
Maks.	99,13	0,19	0,19	0,01	0,00	0,00
Min.	0,15	0,04	0,11	0,01	0,00	0,00
SD	-0,32	1,25	0,09	1,91	1,27	1,27
Skos	-0,89	1,20	-1,27	4,00	2,16	2,16
233950-13	99,40	0,21	0,37	0,02	0,00	0,00
233950-12	99,39	0,23	0,36	0,02	0,00	0,00
233950-11	99,44	0,24	0,31	0,02	0,00	0,00
233950-10	99,57	0,19	0,21	0,02	0,00	0,00
233950-09	99,53	0,21	0,24	0,02	0,00	0,00
233950-08	99,46	0,20	0,33	0,02	0,00	0,00
233950-07	99,23	0,24	0,51	0,02	0,00	0,00
233950-06	99,29	0,23	0,45	0,03	0,00	0,00
233950-05	99,58	0,19	0,21	0,02	0,00	0,00
233950-04	99,23	0,29	0,45	0,03	0,00	0,00
233950-03	99,37	0,25	0,34	0,04	0,00	0,00
233950-02	99,59	0,20	0,19	0,01	0,00	0,00
233950-01	99,13	0,32	0,50	0,05	0,00	0,00

ZAŁĄCZNIK D: POMIARY PUNKTOWE PRZY UŻYCIU RĘCZNEGO XRF KALIBROWANEGO DLA STOPÓW MIEDZI

Nr ident. próbki	Aplikacja	Metoda	Cu	Cu Err	Al	Si	P	S	Ti	Cr	Mn	Fe	Co	Ni
233950 Neergaard Dal	Stopy 2	Miedź LE	99,6497	0,164	0,3185	<LOD	<LOD	0,0014	<LOD	<LOD	0,0065	<LOD	<LOD	<LOD
			Zn	As	Se	Zr	Nb	Ag	Cd	Sn	Sb	Te	Pb	Bi
			<LOD	<LOD	<LOD	0,0069	<LOD	<LOD	<LOD	<LOD	<LOD	<LOD	<LOD	<LOD
233852 Neergaard South	Stopy 2	Miedź LE	99,1317	0,1709	0,3047	0,2298	<LOD	0,0012	0,0268	0,0255	0,0061	0,0335	<LOD	<LOD
			Zn	As	Se	Zr	Nb	Ag	Cd	Sn	Sb	Te	Pb	Bi
			<LOD	<LOD	<LOD	<LOD	<LOD	<LOD	<LOD	0,1863	<LOD	<LOD	<LOD	<LOD

JORC Tabela 1, sekcja 2: Raport dotyczący wyników prac poszukiwawczych

Kryteria	Projekt Arctic Rift Copper																																						
<p><i>Stan prawny w zakresie prawa własności do użytkowania surowców mineralnych i gruntów</i></p>	<p>W ramach projektu Arctic Rift Copper („ARC”) obowiązuje jedno specjalne zezwolenie na poszukiwanie („MEL-S” 2021-07). Obszar objęty wnioskiem wynosi 5 774 km², którego granicę wyznaczają poniższe punkty:</p> <table style="margin-left: auto; margin-right: auto;"> <tr><td>82°3'N, 29°18'W</td><td>81°35'N, 26°8'W</td></tr> <tr><td>82°3'N, 25°41'W</td><td>81°30'N, 26°8'W</td></tr> <tr><td>82°0'N, 25°41'W</td><td>81°30'N, 26°54'W</td></tr> <tr><td>82°0'N, 25°43'W</td><td>81°25'N, 26°54'W</td></tr> <tr><td>81°59'N, 25°43'W</td><td>81°25'N, 28°20'W</td></tr> <tr><td>81°59'N, 25°44'W</td><td>81°21'N, 28°20'W</td></tr> <tr><td>81°58'N, 25°44'W</td><td>81°21'N, 29°35'W</td></tr> <tr><td>81°58'N, 25°46'W</td><td>81°19'N, 29°35'W</td></tr> <tr><td>81°56'N, 25°46'W</td><td>81°19'N, 31°0'W</td></tr> <tr><td>81°56'N, 25°48'W</td><td>81°27'N, 31°0'W</td></tr> <tr><td>81°55'N, 25°48'W</td><td>81°27'N, 31°42'W</td></tr> <tr><td>81°55'N, 25°50'W</td><td>81°34'N, 31°42'W</td></tr> <tr><td>81°53'N, 25°50'W</td><td>81°34'N, 32°7'W</td></tr> <tr><td>81°53'N, 25°52'W</td><td>81°51'N, 32°7'W</td></tr> <tr><td>81°50'N, 25°52'W</td><td>81°51'N, 31°0'W</td></tr> <tr><td>81°50'N, 25°54'W</td><td>81°54'N, 31°0'W</td></tr> <tr><td>81°46'N, 25°54'W</td><td>81°54'N, 30°18'W</td></tr> <tr><td>81°46'N, 25°55'W</td><td>81°58'N, 30°18'W</td></tr> <tr><td>81°35'N, 25°55'W</td><td>81°58'N, 29°18'W</td></tr> </table> <p>Zezwolenie MEL-S daje wyłączne prawo do poszukiwania minerałów przez trzy lata po obniżonych kosztach utrzymania, pod warunkiem że każde z nich obejmuje obszar o powierzchni przekraczającej 1 000 km². Po trzech latach posiadacz specjalnego zezwolenia poszukiwawczego ma prawo do przekształcenia charakteru danego obszaru, w całości lub w części, w ramach konwencjonalnych zezwoleń poszukiwawczych. Ze względu na pandemię koronawirusa, wszystkie wymogi licencyjne na Grenlandii zostały zawieszono do końca 2021 r., dzięki czemu MEL-S można przekształcić w zwykłe zezwolenie pod koniec 2024 r.</p> <p>Minimalny wymóg dotyczący wydatków w przypadku MEL-S wynosi 500 koron duńskich na jeden km²; wartość ta podlega indeksacji według duńskiego CPI ze stycznia 1992 r. Greenfields szacuje, że wymagane wydatki będą opiewać na kwotę około 1 080 000 dolarów australijskich rocznie. Rząd uchylił jednak wszystkie zobowiązania dotyczące wydatków za lata 2020 i 2021, w związku z czym żadne koszty posiadania zezwolenia nie skrytykują się do 31 grudnia 2022 r. Zobowiązania na rok 2022 zostaną obliczone 1 stycznia 2023 r. na podstawie powierzchni objętej zezwoleniem w dniu poprzednim. Wydatki przekraczające minimalny wymóg ustawowy są przenoszone na okres maksymalnie trzech lat. ARC jest w dobrej kondycji.</p> <p>Nie obowiązują żadne należności licencyjne od stron trzecich ani inne prawa związane z ARC.</p>	82°3'N, 29°18'W	81°35'N, 26°8'W	82°3'N, 25°41'W	81°30'N, 26°8'W	82°0'N, 25°41'W	81°30'N, 26°54'W	82°0'N, 25°43'W	81°25'N, 26°54'W	81°59'N, 25°43'W	81°25'N, 28°20'W	81°59'N, 25°44'W	81°21'N, 28°20'W	81°58'N, 25°44'W	81°21'N, 29°35'W	81°58'N, 25°46'W	81°19'N, 29°35'W	81°56'N, 25°46'W	81°19'N, 31°0'W	81°56'N, 25°48'W	81°27'N, 31°0'W	81°55'N, 25°48'W	81°27'N, 31°42'W	81°55'N, 25°50'W	81°34'N, 31°42'W	81°53'N, 25°50'W	81°34'N, 32°7'W	81°53'N, 25°52'W	81°51'N, 32°7'W	81°50'N, 25°52'W	81°51'N, 31°0'W	81°50'N, 25°54'W	81°54'N, 31°0'W	81°46'N, 25°54'W	81°54'N, 30°18'W	81°46'N, 25°55'W	81°58'N, 30°18'W	81°35'N, 25°55'W	81°58'N, 29°18'W
82°3'N, 29°18'W	81°35'N, 26°8'W																																						
82°3'N, 25°41'W	81°30'N, 26°8'W																																						
82°0'N, 25°41'W	81°30'N, 26°54'W																																						
82°0'N, 25°43'W	81°25'N, 26°54'W																																						
81°59'N, 25°43'W	81°25'N, 28°20'W																																						
81°59'N, 25°44'W	81°21'N, 28°20'W																																						
81°58'N, 25°44'W	81°21'N, 29°35'W																																						
81°58'N, 25°46'W	81°19'N, 29°35'W																																						
81°56'N, 25°46'W	81°19'N, 31°0'W																																						
81°56'N, 25°48'W	81°27'N, 31°0'W																																						
81°55'N, 25°48'W	81°27'N, 31°42'W																																						
81°55'N, 25°50'W	81°34'N, 31°42'W																																						
81°53'N, 25°50'W	81°34'N, 32°7'W																																						
81°53'N, 25°52'W	81°51'N, 32°7'W																																						
81°50'N, 25°52'W	81°51'N, 31°0'W																																						
81°50'N, 25°54'W	81°54'N, 31°0'W																																						
81°46'N, 25°54'W	81°54'N, 30°18'W																																						
81°46'N, 25°55'W	81°58'N, 30°18'W																																						
81°35'N, 25°55'W	81°58'N, 29°18'W																																						
<p><i>Prace poszukiwawcze prowadzone przez inne podmioty</i></p>	<p>Pierwsze komercyjne prace poszukiwawcze na terenie Grenlandii Północnej przeprowadzono w latach 1969 i 1972, podczas których zidentyfikowano miedź rodzimą i siarczki miedzi we wschodniej części Grenlandii Północnej. Dopiero w latach 1979 i 1980 przeprowadzono bardziej merytoryczne prace; tym razem były one prowadzone przez agendę rządową.</p> <p>Projekt ARC był przedmiotem komercyjnych prac poszukiwawczych prowadzonych przez Avannaa Resources Limited („Avannaa”) w latach 2010 i 2011. W pierwszym roku Avannaa skupiła swoje prace na niewielkim obszarze w północnej części obszaru koncesyjnego, znanym jako Neergaard North (a następnie Discovery Zone). Prace te koncentrowały się na historycznych pracach agendy rządowej i ośrodków naukowych, które zidentyfikowały wysoce nieprawidłowe mineralizacje miedzi. W 2010 r. prace obejmowały geochemiczne pobieranie próbek gleby, odłupywanie skał oraz wykopywanie wysokogatunkowego materiału związanego z brekcjami uskokowymi o trendzie NW-SE. Bazując na powodzeniu programu z 2010 r., Avannaa przystąpiła w 2011 r. do realizacji znacznie większego regionalnego programu wstępnych poszukiwań. Program ten</p>																																						

obejmował wspierany przez helikopter program próbkowania geochemicznego na dużym obszarze, mający na celu sprawdzenie perspektywiczności wydobycia miedzi w różnych pozycjach stratygraficznych, a także rozszerzenie obszaru „Discovery Zone” zidentyfikowanego w 2010 roku. Obydwa aspekty tego programu zakończyły się powodzeniem, gdyż dowiedziono, że obszar Discovery Zone charakteryzuje się minimalną długością uskoku wynoszącą 2 km, zanim zniknie pod powierzchnią ziemi. Niektóre poziomy stratygraficzne wykazują nieprawidłowe mineralizacje miedzi w znacznym zakresie poprzecznym. Jednak większość prac Avannaa była zlokalizowana na południowy wschód od Projektu ARC i obecnie znajduje się w strefie zakazu prowadzenia prac poszukiwawczych.

Geologia

Projekt ARC obejmuje sekwencję mezoproterozoicznych osadów zdominowanych przez piaskowce, należących do basenu Independence Fjord, które uległy intruzji silnie zmienionych dolerytów oraz pokryciu przez 1,2 km mezoproterozoiczne bazalty powodziowe (bazalty "Zig-Zag Fm"). Bazalty zostały pokryte 1,1 km neoproterozoicznych (sprzed 1000 mln do 541 mln lat) osadów klastycznych i węglanowych należących do grupy Hagen Fjord. W dolnej części grupy Hagen Fjord dominują piaskowce i mułowce, a w jej górnej części wapienie i dolomity. Na podstawie próbek osadów pochodzących ze strumienia, minerały tlenku żelaza przechodziły od magnetytu na wschód od Projektu ARC do hematytu w jego obrębie, co odzwierciedla zmianę stanu utlenienia płynu (od zredukowanego do utlenionego). Przepływ płynu odbywa się ze wschodu na zachód, co sugeruje, że utlenianie stanowi składnik opadania miedzi z roztworu. Utlenianie zredukowanego płynu jest zgodne z chemizmem wymaganym do utworzenia miedzi rodzimej, takiej jak ta, którą zaobserwowano w Projekcie ARC. Stopień metamorfizmu bazaltów Zig-Zag Fm należy do facji zeolitowej, a osady grupy Hagen Fjord wykazują niższy stopień metamorfizmu. Poza erozją mechaniczną zachowały się one w odpowiednim stopniu.

Interesująca pod względem komercyjnym mineralizacja miedzi występuje w bazaltach i osadach grupy Hagen Fjord. Wiadomo, że bazalty zawierają miedź rodzimą in situ, a miedź rodzima występuje szeroko w okolicznych systemach odwadniających. Co istotne, okazy miedzi rodzimej pozyskane przez agendę rządową w 1979 i 1994 roku oraz przez firmę Avannaa w 2010 roku osiągają wagę do 1 kg. Tego typu duże okazy miedzi rodzimej pochodzą prawdopodobnie z próżni pogazowych (pustych przestrzeni gazowych) w bazalcie, chociaż miedź rodzima występująca w uskokach jest również znana z występowania w obrębie ARC. W opinii Greenfields, wiek, otoczenie i skład mineralny sprawiają, że miedź z Zig-Zag Fm jest analogiczna do złóż miedzi na Półwyspie Michigan Upper (Keweenaw) i stanowi podstawowe źródło miedzi dla anomalii odnotowanych w leżących nad nim osadach. Szczeliny uskokowe przecinające bazalty i osady neoproterozoiczne są interpretowane przez Greenfields jako trasy przepływu płynów, ponieważ w otaczających je skałach osadowych z dominacją kwarcu występują strefy intensywnej alternacji potasu. Tego typu brekcje charakteryzują się szerokością do 25 m i wykazują mineralizację miedziową. Minerały miedzionośne w postaci chalkozytu, bornitu i chalkopiryty są istotne, ponieważ dowodzą, że do systemu wcześniej nienasyconego siarką została dodana siarka. Źródło siarki jest ogólnie uważane za ważny czynnik w „modelu złoża miedzi w osadach”. Podano również inne ważne składniki modelu złoża, w tym pseudomorfizowany gips (źródło siarki, oraz soli wymuszających ruchliwość miedzi), uszczelnienia hydrogeologiczne, oraz kontrastujące stany utlenienia. Siarczki miedzi występują w przewidywanych geologicznych układach litologicznych. Najwyższe klasy miedzi znajdują się w pobliżu geofizycznych anomalii grawitacyjnych, magnetycznych i elektromagnetycznych. Obszar ok. 640 km² anomalii geofizycznych i geochemicznych nosi nazwę Minik Singularity.

Wiek znanej mineralizacji obejmuje co najmniej dwa etapy. Greenfields wskazuje na orogenezę elzewirską (ok. 1250 mln lat temu) jako prawdopodobne wydarzenie związane z mineralizacją miedzi rodzimej w bazaltach. Jednakże siarczki miedzi w osadach z okresu neoproterozoicznego wskazują na istnienie drugiego zdarzenia mineralizacyjnego związanego z wygasającą orogenezą kaledońską (ok. 390-380 mln lat temu). Orogenezy elzewirska i kaledońska charakteryzują się podobną orientacją. Wiek maksymalny oszacowany na ok. 385 mln lat temu jest poparty brakiem mineralizacji znanej z okresu młodszego niż sylurski (443,8 mln lat temu do 419,2 mln lat temu). Okres syluru związany

jest z powstaniem złoża cynku Citronen, na które obecnie licencję posiada Ironbark Zinc Ltd. Greenfields uważa, że siarczki miedzi Citronen i ARC powstały w wyniku tego samego zdarzenia. Znana miedź i cynk, w połączeniu z interpretowaną przez Greenfields historią geologiczną, geochronologią i temperaturami płynów hydrotermalnych, wyznaczają obszar metalogeniczny Kiffaangissuseq o powierzchni +60 000 km².

Dwa zdarzenia hydrotermalne, które według interpretacji Greenfields utworzyły obszar metalogeniczny Kiffaangissuseq, są zdecydowanie odmienne. Greenfields uważa, że płyny pochodzące z epoki elzewirskiego były chemicznie zredukowane, ale wzbogacone w cer. Cer ten mógł wywołać anoksydacyjne utlenianie miedzionośnych minerałów tytanomagnetytowych. Interpretacja taka jest zgodna z obserwacjami w Astrup Anomaly, gdzie skały osadowe pod mafikiem wydają się być chemicznie zredukowane (kolor szary), podczas gdy powyżej mafiku zostają utlenione. Sugeruje to, że zredukowane elzewirskie płyny hydrotermalne, które pochodziły z głębszych warstw podziemnych i zawierały cer dość energicznie wchodziły w interakcję ze skałami maficznymi, aby wytworzyć intensywne zabarwienie tlenkiem żelaza ponad nimi. Dla porównania, młodsze kaledońskie płyny hydrotermalne mogły być utlenione, ponieważ w obrębie Discovery Zone istnieją dowody na to, że płyny zostały zredukowane przez piryt, co spowodowało wytrącenie siarczków miedzi.

Przepływy podstawowe bazaltów Zig-Zag Fm wykazują wyraźne zubożenie w nikiel. Sugeruje ono, że nikiel mógł pozostać w formie osadu w siarczku, a koncepcyjnie jako złoża siarczków niklu. Nie prowadzono skutecznych prac komercyjnych nad testowaniem potencjału siarczków niklu. Pentlandyt, niklonośny siarczek, zaobserwowano w przynajmniej jednej z intruzji pod bazaltami. Na obecnym etapie nie ma innych dowodów, na podstawie których można oceniać perspektywiczność siarczku niklu.

Znana mineralizacja miedzi, zarówno siarczkowej jak i rodzimej, wydaje się mieć charakter strukturalny. Niezależny geolog strukturalny, dr Mark Munro, dokonał przeglądu ARC i potwierdził, że istnieją wyraźne dowody na istnienie uskoku odwróconego w obszarze zdominowanym przez uskoki normalne, który według Greenfields koreluje ze znaną mineralizacją. Przegląd, o którym mowa bazował na zdjęciach satelitarnych, a także na fotografiach z rzutem ukośnym fiordów wykonanych w latach 1979/1980. Przegląd dokonany przez dr Munro obejmował również poprawione mapowanie litologiczne i strukturalne Greenfields w oparciu o te same dane i w dużej mierze zgadzał się z interpretacją Greenfields dotyczącą mapowania historycznego. Wydaje się, że te odwrócone zaburzenia uskoku nie były wcześniej opisywane w literaturze. Ponadto, nowym elementem dla Greenfields było to, że dr Munro zidentyfikował dolinę Neergaard („Dal” w języku duńskim) jako uskoki o ruchu w górę od strony zachodniej, prawdopodobnie w ruchu skracanym. Na analogicznym Półwyspie Keweenaw, uskoki odwrócone jest uważany za podstawowy czynnik kontrolujący mineralizację miedzi i jest on ściśle związany zarówno z miedzią rodzimą, jak i siarczkami miedzi w Michigan.

Interaktywny portal rządowy obejmujący geologię i raporty uzupełniające został udostępniony pod adresem: <http://www.greenmin.gl/home/seam>. Raport z oceny technicznej ARC, zawierający pełne odniesienia, jest dostępny pod adresem <http://dx.doi.org/10.13140/RC.2.2.18610.84161>.

*Informacje o otworze
wiertniczym
Metody łączenia danych*

W obrębie Projektu ARC i w jego sąsiedztwie nigdy nie prowadzono odwiertów.

*Zależność pomiędzy szerokością
mineralizacji a długością
przecięć.
Schematy*

Nie dokonywano agregacji danych. Wszystkie pierwotne dane zostały przedstawione w załączniku, a zestawienie statystyczne w głównej części niniejszego komunikatu.

Mikro-XRF wykonano na izolowanych próbkach, które nie odnoszą się do szerokości mineralizacji. Celem analizy jest ustalenie jakości mineralogicznej i jako takie, długości przecięć nie są obecnie istotne.

Wszystkie odnośne mapy zostały przedstawione w głównym dokumencie i załącznikach do niego, a dodatkowe tabele i rysunki zamieszczono w Raporcie z Oceny Technicznej.

*Sprawozdawczość
zrównoważona*

Firma Greenfields pozyskała i rzetelnie przedstawiła wszystkie wyniki. Przedstawiono je w formie statystycznej i graficznej, tak aby czytelnik mógł je wykorzystać do dokonania wyważonej oceny interesujących z ekonomicznego punktu widzenia wyników. Czytelnik powinien wiedzieć,

<i>Inne istotne dane dotyczące poszukiwań</i>	<p>że na tym etapie wyniki mikro-XRF mają charakter orientacyjny i nie należy ich mylić z bardziej tradycyjnymi badaniami niszczącymi.</p> <p>Od czasu udzielenia przez Greenfields zezwolenia na prowadzenie prac w obrębie Projektu ARC, jedyne nowe dane pochodzą z wielospektralnych pomiarów satelitarnych oraz z analizy historycznych próbek przechowywanych w obiektach rządowych w Kopenhadze, w Danii. Analiza jakości miedzi przedstawiona w tym wydaniu jest pierwszą tego typu analizą dla ARC; nie są dostępne żadne inne dane merytoryczne, które by się do niej odnosiły.</p>
<i>Pozostałe prace</i>	<p>Próbki miedzi rodzimej zostaną poddane dodatkowym analizom w ramach badań niszczących. Ponieważ próbki te zostały wypożyczone od Służby Geologicznej Danii i Grenlandii, nie jest możliwe wykonanie oznaczeń destrukcyjnych.</p>

JORC Tabela 1, sekcja 1:

Kryteria	Projekt Arctic Rift Copper
<i>Techniki tworzenia próbek</i>	<p>Dane pomiarowe przedstawione w niniejszym dokumencie odnoszą się do analiz mikro-XRF historycznych próbek pobranych w ramach Projektu ARC. Badania powtórne przeprowadzono przy użyciu podręcznego, przenośnego urządzenia XRF, które zostało skalibrowane do stopów miedzi.</p> <p>Próbki zostały częściowo wypolerowane przez Greenfields. Próbka z obszaru Discovery Zone została wysłana do Uniwersytetu w Kopenhadze, Wydziału Nauk Geologicznych i Zarządzania Zasobami Naturalnymi, a próbki z Neergaard Dal i Neergaard South zostały przekazane do Portable Spectral Services Pty Ltd (konsultanta). Wszystkie trzy próbki poddano analizie za pomocą urządzeń Bruker M4 micro-XRF, z analizą ukierunkowaną na polerowane powierzchnie próbek. Konsultant użył również urządzenia Bruker S1 Titan stosując kalibrację fabryczną dla stopów miedzi na próbkach Neergaard Dal i Neergaard South.</p> <p>W przypadku próbki z obszaru Discovery Zone, mikro-XRF wykorzystano na dwa sposoby. Po pierwsze, szybkie oznaczanie obszaru 12 x 15 mm pozwoliło uzyskać mapę pierwiastków, gdzie piksele stanowią wynik setek tysięcy 20-mikrosekundowych pomiarów. Następnie wybrano podobszar o wymiarach 6 x 3 mm, na którym nie występowały żadne powierzchniowe czynniki atmosferyczne, w celu wykonania 71 pomiarów o długości 1 minuty. Na podstawie tych dłuższych pomiarów uzyskano wyniki zawartości pierwiastków przedstawione w załączniku.</p> <p>Ta sama wielopunktowa, 1-minutowa metoda analizy została zastosowana dla próbek Neergaard Dal i Neergaard South. Analiza miedzi rodzimej Neergaard Dal składała się z 25 punktów badania, podczas gdy próbka Neergaard South miała 13 punktów analizy. Analizie poddano świeżą mineralizację miedzi rodzimej, która została wypolerowana na płasko i oczyszczona z powierzchniowych czynników atmosferycznych. Próbka Neergaard Dal ma postać płyty, a próbka Neergaard South to mała bryłka miedzi wyłuskana z większej próbki.</p> <p>Wszystkie trzy próbki zostały przed analizą wypolerowane na stole szlifierskim. Płaską powierzchnię wypolerowano na próbkach w celu usunięcia powierzchniowych zmian atmosferycznych oraz dlatego, że maszyna M4 Tornado działa najlepiej podczas analizy płaskich powierzchni.</p>
<i>Techniki wiertnicze</i>	<p>W obrębie Projektu ARC nigdy nie prowadzono odwiertów.</p>
<i>Pozyskiwanie próbek z odwiertów</i>	<p>W obrębie Projektu ARC nigdy nie prowadzono odwiertów.</p>
<i>Wyrób lasów</i>	<p>W obrębie Projektu ARC nigdy nie prowadzono odwiertów, w związku z czym nie istnieją żadne zapisy dotyczące pozyskiwania drewna.</p>
<i>Techniki pobierania próbek cząstkowych i przygotowanie próbek</i>	<p>Nie pobierano próbek cząstkowych.</p>
<i>Jakość danych z oznaczeń i badań laboratoryjnych</i>	<p>Informacje XRF, zwłaszcza mikro-XRF, należy przetwarzać z ostrożnością ze względu na małą próbkę i dwuwymiarowy</p>

	<p>charakter analizy. Jednakże, mikro-XRF jest zarówno ilościowo jak i jakościowo lepszym rozwiązaniem niż powszechnie stosowana w przemyśle analiza ręczna XRF. Precyzja pomiarów i duży obszar, który mogą one obejmować, pozwala określić, jakie gatunki minerałów występują w badanej próbce. Z drugiej strony, ręczne urządzenia XRF dostarczają informacji o pierwiastkach tylko z jednego, małego punktu. W przypadku pierwszego badania mającego na celu określenie jakości miedzi rodzimej, Spółka uważa wiarygodność i dokładność metody za odpowiednią. Niemniej jednak, konsultant zastosował ręczny pomiar XRF, który został specjalnie skalibrowany dla stopów miedzi; posłużył on jako kontrola dla mikro-XRF. Wyniki ręcznego i mikro-XRF są ze sobą zbieżne.</p>
<p><i>Weryfikacja procesu pobierania próbek i oznaczania</i></p>	<p>Żadna ze stron trzecich nie dokonała weryfikacji historycznych wyników badań. Jednakże Spółka przeprowadziła analizę za pośrednictwem instytucji akademickiej oraz renomowanej firmy doradczej, przy czym w obu przypadkach zastosowano różne urządzenia, ale uzyskano podobne wyniki. Konsultant wykorzystał również ręczny XRF kalibrowany dla stopów miedzi w celu potwierdzenia analiz mikro-XRF. Przeprowadzenie ostatecznej, lecz niszczącej analizy metalurgicznej nie jest możliwe, ponieważ próbka nie należy do Spółki i należy ją zwrócić państwowej służbie geologicznej.</p>
<p><i>Lokalizacja punktów danych</i></p>	<p>Lokalizacja próbek historycznych bazuje na informacjach ogólnie dostępnych przekazanych przez agendę rządową. Siatki powstały w oparciu o strefy UTM 26 i 27 przy użyciu WGS84 Datum. Dokładna lokalizacja analizowanej próbki miedzi rodzimej nie była dostępna, ponieważ została ona pozyskana przed upowszechnieniem technologii GPS.</p>
<p><i>Rozmieszczenie i dystrybucja danych</i></p>	<p>Próbki pobrano w wybranych lokalizacjach w obrębie obszaru historycznego. Nie były to próbki in situ, jednak Greenfields uważa, że ich źródło znajduje się w bezpośrednim sąsiedztwie, biorąc pod uwagę obecność intensywnej mineralizacji siarczków miedzi, która jest prawdopodobnie ściśle powiązana z istniejącą wcześniej mineralizacją miedzi rodzimej. Ponieważ analiza mikro-XRF miała na celu określenie jakości metalurgicznej, a nie klasy czy miąższości, niedokładność przestrzenna nie jest uznawana przez Spółkę za istotną.</p>
<p><i>Orientacja danych w stosunku do struktury geologicznej</i></p>	<p>Orientacja pobieranych próbek była odpowiednia dla zamierzonego celu metalurgicznego i reprezentatywna dla przewidywanej mineralizacji.</p>
<p><i>Zabezpieczenie próbek</i></p>	<p>Greenfields nie posiada informacji na temat środków podjętych w celu zapewnienia bezpieczeństwa próbek. Biorąc pod uwagę wiek próbek, fakt, że jest ona gromadzona i przechowywana (w dużej mierze zapomniana) przez agendę rządową oraz niskie prawdopodobieństwo manipulowania próbką, Spółka nie widzi podstaw do zaniepokojenia.</p>
<p><i>Audyty lub przeglądy</i></p>	<p>Greenfields nie dysponuje informacjami na temat jakichkolwiek audytów lub przeglądów Projektu ARC. Analiza mikro-XRF dotyczyła trzech próbek. Instytucja rządowa przeprowadziła analizę próbek pochodzących z obszaru Discovery Zone, a Konsultant wykonał analizę próbek pochodzących z Neergaard Dal i Neergaard South. Wszystkie badania miały charakter wstępny, orientacyjny a więc przeprowadzenie audytu lub przeglądu nie było konieczne.</p>